

# Hardware pro počítačovou grafiku

## NPGR019

Matematika pro real-time grafiku

Josef Pelikán  
Jan Horáček

<http://cgg.mff.cuni.cz/>  
MFF UK Praha

2012



# Obsah

- 1 Homogenní souřadnice, maticové transformace
  - Převod mezi souřadnými soustavami
- 2 Souřadné soustavy, projekční transformace, frustum
- 3 Reprezentace orientace
  - Eulerovy úhly, kvaterniony
  - interpolace orientací
- 4 Perspektivně korektní interpolace



# Geometrické transformace v 3D

- vektor 3D souřadnic  $[x, y, z]$
- transformace násobením maticí  $3 \times 3$ 
  - řádkový vektor se násobí **zprava** (*DirectX*)

$$[x, y, z] \cdot \begin{bmatrix} a_{11} & a_{12} & a_{13} \\ a_{21} & a_{22} & a_{23} \\ a_{31} & a_{32} & a_{33} \end{bmatrix} = [x', y', z']$$

- sloupcový vektor se násobí **zleva** (*OpenGL*)

$$\begin{bmatrix} a_{11} & a_{12} & a_{13} \\ a_{21} & a_{22} & a_{23} \\ a_{31} & a_{32} & a_{33} \end{bmatrix} \cdot \begin{bmatrix} x \\ y \\ z \end{bmatrix} = \begin{bmatrix} x' \\ y' \\ z' \end{bmatrix}$$

- transformační matice  $3 \times 3$  mají podstatné omezení - **nelze** je použít pro **posunutí** (translaci)



# Homogenní souřadnice

- vektor **homogenních souřadnic**  $[x, y, z, w]$
- transformace násobením maticí  $4 \times 4$

$$[x, y, z, w] \cdot \begin{bmatrix} a_{11} & a_{12} & a_{13} & a_{14} \\ a_{21} & a_{22} & a_{23} & a_{24} \\ a_{31} & a_{32} & a_{33} & a_{34} \\ a_{41} & a_{42} & a_{43} & a_{44} \end{bmatrix} = [x', y', z', w']$$

- homogenní matici lze i **posunovat** (translace) a provádět perspektivní projekci



# Převod homogenních souřadnic

- homogenní souřadnice  $[x, y, z, w]$  se převádějí na běžné kartézské souřadnice vydelením (je-li  $w \neq 0$ )  $[x/w, y/w, z/w]$
- souřadnice  $[x, y, z, 0]$  neodpovídají žádnému vlastnímu bodu v prostoru
  - lze je chápat jako reprezentaci **směrového vektoru** (bod v nekonečnu)
- převod z obyčejných souřadnic do homogenních je jednoduchý:  $[x, y, z] \Rightarrow [x, y, z, 1]$



# Elementární transformace

- nejběžnější jsou **afinní transformace**

$$\begin{bmatrix} a_{11} & a_{12} & a_{13} & 0 \\ a_{21} & a_{22} & a_{23} & 0 \\ a_{31} & a_{32} & a_{33} & 0 \\ t_1 & t_2 & t_3 & 1 \end{bmatrix}$$

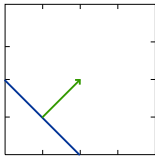
- levá horní podmatice  $[a_{11} \text{ až } a_{33}]$  vyjadřuje rozměr a orientaci, případně zkosení
- vektor  $[t_1, t_2, t_3]$  udává posunutí (translaci)
  - posunutí je až poslední operace



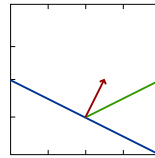
# Transformace normál

- normálové vektory se nesmí transformovat běžnými transformačními maticemi
  - výjimka: matice M je rotační (ortonormální)
- matice pro **transformaci normál N**:

$$N = (M^{-1})^T$$



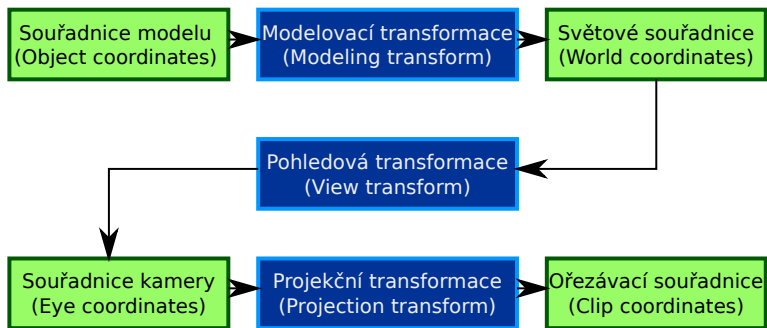
Původní objekt



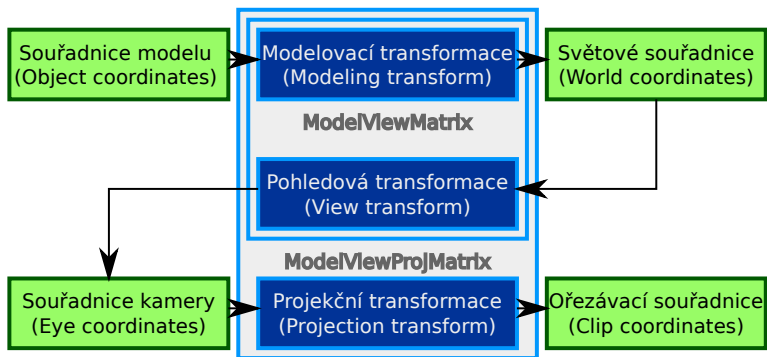
Transformovaný objekt



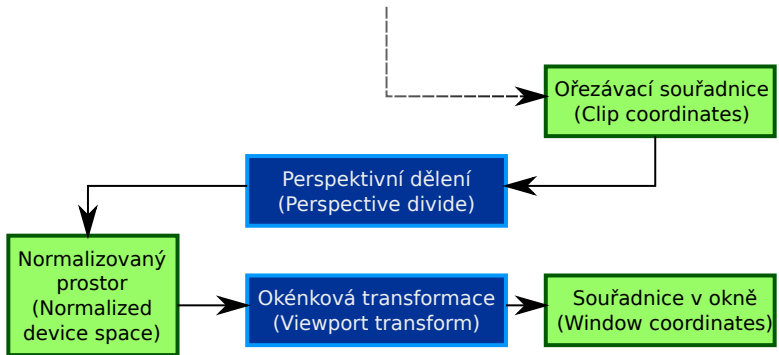
# Souřadné soustavy



# Souřadné soustavy



## Souřadné soustavy 2



# Souřadné soustavy 3

- souřadnice modelu
  - databáze objektů, ze kterých se skládá scéna
  - 3D modelovací programy (3DS, Maya, ...)
- světové souřadnice
  - absolutní souřadnice virtuálního 3D světa
  - vzájemná poloha jednotlivých *instancí objektů*
  - pro zobrazování nemají příliš velký význam (pouze teoretický)
- souřadnice kamery
  - 3D svět se transformuje do relativních souřadnic kamery
  - střed projekce: **počátek**, směr pohledu: -Z (OpenGL) nebo +Z (DirectX)



# Souřadné soustavy a jejich transformace

- transformace model  $\Rightarrow$  kamera
  - kombinovaná do **ModelView** matice
- projekční transformace
  - definuje zorný objem (*frustum* pro perspektivní projekci)
  - přední a zadní ořezávací vzdálenost: **n, f**
  - výsledkem je homogenní souřadnice (před ořezáním)
- ořezávací souřadnice (clip coordinates)
  - výstupní souřadnice vertex shaderu



# Projekční transformace

- tzv. **frustum** pro perspektivní projekci je definováno parametry **n**, **f**, **l**, **r**, **t**, **b**
- vzdálený bod **f** lze pousnout do *nekonečna*

$$\begin{bmatrix} \frac{2n}{r-l} & 0 & 0 & 0 \\ 0 & \frac{2n}{t-b} & 0 & 0 \\ \frac{r+l}{r-l} & \frac{t+b}{t-b} & \frac{-(f+n)}{f-n} & -1 \\ 0 & 0 & \frac{-2fn}{f-n} & 0 \end{bmatrix}$$

$$\begin{bmatrix} \frac{2n}{r-l} & 0 & 0 & 0 \\ 0 & \frac{2n}{t-b} & 0 & 0 \\ \frac{r+l}{r-l} & \frac{t+b}{t-b} & -1 & -1 \\ 0 & 0 & -2n & 0 \end{bmatrix}$$



# Souřadné soustavy a jejich transformace

- perspektivní dělení
  - pouze převádí *homogenní* souřadnice do *kartézských*
- normalizované souřadnice zařízení (*NDC*)
  - kvádr standardní velikosti
  - OpenGL:  $[-1, -1, -1]$  až  $[1, 1, 1]$
  - DirectX:  $[-1, -1, 0]$  až  $[1, 1, 1]$
- souřadnice v okně (window coordinates)
  - výsledkem okénkové transformace (škálování + posun) a transformace hloubky
  - používají se při **rasterizaci** a práci s **fragmenty**

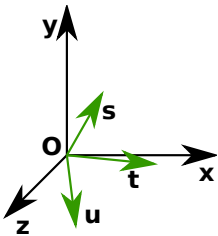


# Transformace tuhého tělesa

- zachovává **tvar těles**, mění pouze jejich **orientaci**
  - skládá se jen z **posunutí** a **otáčení**
  - často se používá k převodu mezi souřadnicovými systémy  
(např. mezi *světovými* souřadnicemi a systémem spojeným s *pozorovatelem*)



## Převod mezi dvěmi orientacemi



- Souřadný systém má počátek v **O** a je zadán trojicí jednotkových vektorů  $[s, t, u]$

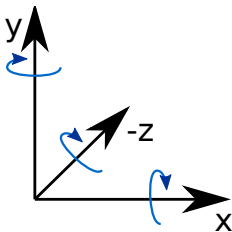
$$M_{stu \rightarrow xyz} = \begin{bmatrix} s_x & s_y & s_z \\ t_x & t_y & t_z \\ u_x & u_y & u_z \end{bmatrix}$$

$$\begin{aligned}[1, 0, 0] \cdot M_{stu \rightarrow xyz} &= s \\ [0, 1, 0] \cdot M_{stu \rightarrow xyz} &= t \\ [0, 0, 1] \cdot M_{stu \rightarrow xyz} &= u\end{aligned}$$

$$M_{xyz \rightarrow stu} = M_{stu \rightarrow xyz}^T$$



# Eulerova transformace



- rozklad obecné rotace na **tři složky**

$$E(h, p, r) = R_y(h) \cdot R_x(p) \cdot R_z(r)$$

- h(**head**, yaw): otočení hlavy v půdorysu
- p(**pitch**): zvednutí/sklonění hlavy
- r(**roll**): otočení kolem osy pohledu



# Eulerova transformace 2

- výsledná matice rotace:

$$E = \begin{bmatrix} c(r)c(h) - s(r)s(p)s(h) & s(r)c(h) + c(r)s(p)s(h) & -c(p)s(h) \\ -s(r)c(p) & c(r)c(p) & s(p) \\ c(r)s(h) + s(r)s(p)c(h) & s(r)s(h) - c(r)s(p)c(h) & c(p)c(h) \end{bmatrix}$$

- $s(x) = \sin(x)$ ,  $c(x) = \cos(x)$
- možnost zpětného výpočtu úhlů h,p,r:
  - p ...  $e_{23}$
  - r ...  $e_{21}/e_{22}$
  - h ...  $e_{13}/e_{33}$



# Rotace - jiné konvence

- hlavní konvence
  - 1. rotace kolem Z o úhel  $\varphi$
  - 2. rotace kolem X' o úhel  $\theta$
  - 3. rotace kolem Z'' o úhel  $\psi$
- X-konvence
  - 1. rotace kolem Z
  - 2. rotace kolem **původní** osy X
  - 3. rotace kolem **původní** osy Z
- **další systémy:** aeronautika, gyroskopy, fyzika, ...



# Kvaterniony

- Sir William Rowan **Hamilton**, 1843
  - $i^2 = j^2 = k^2 = ijk = -1$
  - aplikace v grafice až v roce 1985 (Shoemake)
  - zobecnění komplexních čísel do 4D prostoru
- $\mathbf{q} = (\mathbf{v}, w) = ix + jy + kz + w = \mathbf{v} + w$
- **imaginární část**  $\mathbf{v} = (x, y, z) = ix + jy + kz$
- $i^2 = j^2 = k^2 = -1$
- $jk = -kj = i$
- $ki = -ik = j$
- $ij = -ji = k$



# Kvaterniony - operace

- sčítání

- $(\mathbf{v}_1, w_1) + (\mathbf{v}_2, w_2) = (\mathbf{v}_1 + \mathbf{v}_2, w_1 + w_2)$

- násobení

- $\mathbf{qr} = (\mathbf{v}_q \times \mathbf{v}_r + w_r \mathbf{v}_q + w_q \mathbf{v}_r, w_q w_r - \mathbf{v}_q \cdot \mathbf{v}_r)$

$$i(q_y r_z - q_z r_y + r_w q_x + q_w r_x),$$

$$j(q_z r_x - q_x r_z + r_w q_y + q_w r_y),$$

$$k(q_x r_y - q_y r_x + r_w q_z + q_w r_z),$$

$$q_w r_w - q_x r_x - q_y r_y - q_z r_z$$



# Kvaterniony - operace

- konjugace
  - $(\mathbf{v}, w)^* = (-\mathbf{v}, w)$
- norma (čtverec absolutní hodnoty)
  - $\| \mathbf{q} \|^2 = n(\mathbf{q}) = \mathbf{q}\mathbf{q}^* = x^2 + y^2 + z^2 + w^2$
- jednotka
  - $\mathbf{i} = (\mathbf{0}, 1)$
- převrácená hodnota
  - $\mathbf{q}^{-1} = \frac{\mathbf{q}^*}{n(\mathbf{q})}$
- násobení skalárem
  - $s\mathbf{q} = (\mathbf{0}, s)(\mathbf{v}, w) = (s\mathbf{v}, sw)$



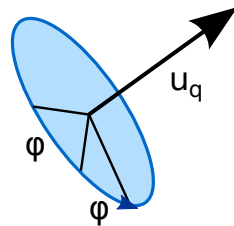
# Jednotkové kvaterniony

- **jednotkový quaternion** lze vyjádřit goniometricky
  - $\mathbf{q} = (\mathbf{u}_q \sin \varphi, \cos \varphi)$
  - pro nějaký **jednotkový 3D vektor**  $\mathbf{u}_q$
- reprezentace **rotace** (orientace) v 3D
  - *nejednoznačnost*:  $\mathbf{q}$  i  $-\mathbf{q}$  reprezentují stejnou rotaci
  - *identita* (nulové otočení):  $(\mathbf{0}, 1)$
- mocnina, exponenciála, logaritmus:
  - $\mathbf{q} = \mathbf{u}_q \sin \varphi + \cos \varphi = \exp(\varphi \mathbf{u}_q)$
  - $\log \mathbf{q} = \varphi \mathbf{u}_q$
  - $\mathbf{q}^t = (\mathbf{u}_q \sin \varphi + \cos \varphi)^t = \exp(t \varphi \mathbf{u}_q) = \mathbf{u}_q \sin(t \varphi) + \cos(t \varphi)$



# Rotace pomocí kvaternionu

- jednotkový quaternion
  - $\mathbf{q} = (\mathbf{u}_q \sin \varphi, \cos \varphi)$
  - $\mathbf{u}_q$  ... osa rotace
  - $\varphi$  ... úhel
- bod nebo vektor v 3D:  
 $p = [p_x, p_y, p_z, p_w]$
- **rotace** bodu (vektoru)  $\mathbf{p}$  kolem osy  $\mathbf{u}_q$  o úhel  $2\varphi$ :
  - $\mathbf{p}' = \mathbf{qpq}^{-1} = \mathbf{qpq}^*$



# Převod kvaternion $\leftrightarrow$ matice

- kvaternion  $\mathbf{q}$  po převedení na matici:

$$M = \begin{pmatrix} 1 - 2(y^2 + z^2) & 2(xy + wz) & 2(xz - wy) \\ 2(xy - wz) & 1 - 2(x^2 + z^2) & 2(yz + wx) \\ 2(xz + wy) & 2(yz - wx) & 1 - 2(x^2 + y^2) \end{pmatrix}$$

- převod matice na kvaternion - základem jsou rovnice:

$$\begin{aligned} m_{23} - m_{32} &= 4wx \\ m_{31} - m_{13} &= 4wy \\ m_{12} - m_{21} &= 4wz \\ tr(M) + 1 &= 4w^2 \end{aligned} \tag{1}$$



## Převod matice na quaternion 2

- pokud je *stopa maticy*+1 v absolutní hodnotě **velká**:

$$w = \frac{1}{2} \sqrt{\text{tr}(M) + 1} \quad x = \frac{m_{23} - m_{32}}{4w}$$
$$y = \frac{m_{31} - m_{13}}{4w} \quad z = \frac{m_{12} - m_{21}}{4w}$$

- v opačném případě se nejprve spočítá složka s maximální absolutní hodnotou, pak se použijí rovnice (1)

$$4x^2 = 1 + m_{11} - m_{22} - m_{33}$$

$$4y^2 = 1 - m_{11} + m_{22} - m_{33}$$

$$4z^2 = 1 - m_{11} - m_{22} + m_{33}$$



# Sférická lineární interpolace (slerp)

- nejkratší sféricky oblouk mezi orientacemi  $\mathbf{q}$  a  $\mathbf{r}$
- vstup:
  - dva kvaterniony  $\mathbf{q}$  a  $\mathbf{r}$
  - $\mathbf{q} \cdot \mathbf{r} \geq 0$ , jinak  $-\mathbf{q}$
  - reálný parametr  $0 \leq t \leq 1$
- interpolovaný kvaternion:
  - $slerp(\mathbf{q}, \mathbf{r}, t) = \mathbf{q}(\mathbf{q}^*\mathbf{r})^t$
  - jiné vyjádření:

$$slerp(\mathbf{q}, \mathbf{r}, t) = \frac{\sin(\varphi(1-t))}{\sin\varphi} \cdot \mathbf{q} + \frac{\sin(\varphi t)}{\sin\varphi} \cdot \mathbf{r}$$

$$\cos\varphi = q_x r_x + q_y r_y + q_z r_z + q_w r_w$$



# Otočení mezi dvěma vektory

- dva směrové vektory  $\mathbf{s}$  a  $\mathbf{t}$

- ❶ normalizace vektorů  $\mathbf{s}$ ,  $\mathbf{t}$
- ❷ jednotková rotační osa  $\mathbf{u} = \frac{(\mathbf{s} \times \mathbf{t})}{\|\mathbf{s} \times \mathbf{t}\|}$
- ❸ vyjádření úhlu mezi  $\mathbf{s}$  a  $\mathbf{t}$ :

$$e = \mathbf{s} \cdot \mathbf{t} = \cos(2\varphi)$$

$$\|\mathbf{s} \times \mathbf{t}\| = \sin(2\varphi)$$

- ❹ výsledný kvaternion:

$$\mathbf{q} = (\mathbf{u} \cdot \sin\varphi, \cos\varphi)$$

$$\mathbf{q} = (\mathbf{q}_v, q_w) = \left( \frac{1}{\sqrt{2(1+e)}}(\mathbf{s} \times \mathbf{t}), \frac{\sqrt{2(1+e)}}{2} \right)$$



# Slerp rotačních matic

- vstup:
  - dvě rotační matice  $Q$  a  $R$
  - reálný parametr  $0 \leq t \leq 1$
- interpolovaná matice:
  - $slerp(Q, R, t) = Q(Q^T R)^t$
  - technický **problém**: obecná mocnina rotační matice
  - nutnost výpočtu osy a úhlu otočení  $Q^T R$
  - výpočetně málo efektivní



# Vyjádření rotace - shrnutí

- rotační matice
  - + HW podpora, efektivní transformace vektoru
  - - paměť ( $9 \times \text{float}$ ), neefektivní ostatní operace
- osa a úhel otočení
  - + paměť ( $4 \times \text{float}$  nebo  $6 \times \text{float}$ ), podobné kvaternionu
  - - neefektivní kompozice, interpolace
- kvaternion
  - + paměť ( $4 \times \text{float}$ ), kompozice, interpolace
  - - neefektivní transformace vektoru
- podrobnosti viz *RotationIssues.pdf*



# Interpolace na obrazovce

- týká se souřadnic od **ořezávacích** (včetně)
  - clip space:  $[x, y, z, w]$
  - NDS:  $[\frac{x}{w}, \frac{y}{w}, \frac{z}{w}]$  ( $w$  někdy zůstává)
  - window space (fragment):  $[x_i, y_i, z_i, w]$
- **projekční perspektivní** transformace mapuje hloubku  $z$  do NDS **nelineárně**
  - - **nerovnoměrné** využití přesnosti z-bufferu (méně přesné vzdálené partie - minimalizace poměru  $\frac{f}{n}$ )
  - + interpolaci hloubky  $z$  lze dělat na obrazovce **lineárně**
- **W-buffer** místo z-bufferu (dnes se moc nepoužívá)



# Perspektivně korektní interpolace

- ve straně trojúhelníka interpoluj

$$[x, y, z, \frac{1}{w}, \frac{u}{w}, \frac{v}{w}]$$

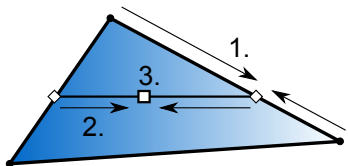
- interpoluj v rámci scanline

- vypočítej správné parametry

$$w = 1/\frac{1}{w}$$

$$u = \frac{u}{w} \cdot w$$

...



- snahou je používat co nejvíce **lineární interpolaci**
- hloubku  $z$  lze interpolovat lineárně
- pro **texturové souřadnice** nebo  $w$  se musí implementovat perspektivně korektní interpolace
- lineárně** interpoluji  $\frac{1}{w}$ ,  $\frac{u}{w}$  i  $\frac{v}{w}$ , finální  $[u, v]$  pak dopočítám dělením (hyperbolická interpolace)

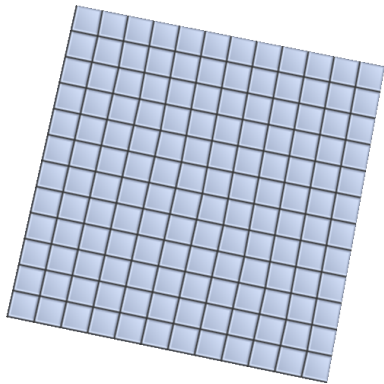


## Perspektivně korektní interpolace - aplikace

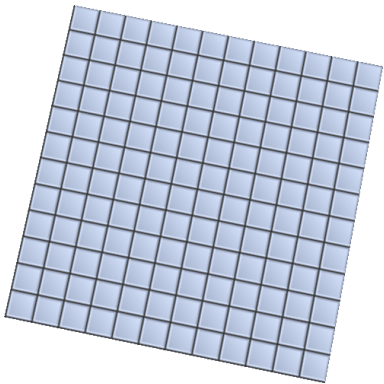
- historicky výpočetně výrazně **náročnější** než lineární
- řešení - snížení náročnosti, perspektivně korektní interpolace počítána **jen v určitých bodech**, zbytek interpolován (bi)lineárně
  - Quake - jednou za 16 pixelů scanline
  - bilineární po blocích v souřadnicích obrazovky
  - pro konstantní z
- moderní karty mají **HW interpolátory**



## Perspektivně korektní interpolace - příklad



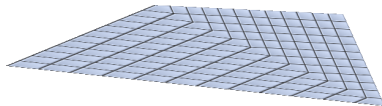
affinní



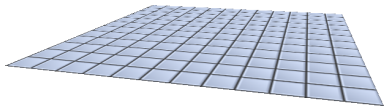
perspektivně správné



## Perspektivně korektní interpolace - příklad 2



affinní



perspektivně správné



# Literatura

- Tomas Akenine-Möller, Eric Haines: **Real-time rendering, 2<sup>nd</sup> edition**, A K Peters, 2002, ISBN:1568811829
- OpenGL Architecture Review Board: **OpenGL Programming Guide: The Official Guide to Learning OpenGL**, Addison-Wesley, nejnovější vydání (aktuálně 8. vydání pro OpenGL 4.1)
- David Eberly: **Rotation Representations and Performance Issues**, <http://www.geometrictools.com/Documentation/RotationIssues.pdf>, 2002-2008
- Wikipedia:  
[http://en.wikipedia.org/wiki/Rotate\\_matrix](http://en.wikipedia.org/wiki/Rotate_matrix), ...

